

Foto.-648 Aspecto del leucogranito de grano grueso ($^{b}_{c-2}\gamma^{3}$) en el puerto de San Feliú de Guixols.



GD Foto.-649 Detalle de la granodiorita porfídica ($_{p-1}^{b}\gamma\eta^{3}$) en la Playa de San Pol (S'Agaró).



GD Foto.-650 Leucogranito de grano fino aflorante en las proximidades de Castillo de Aro.

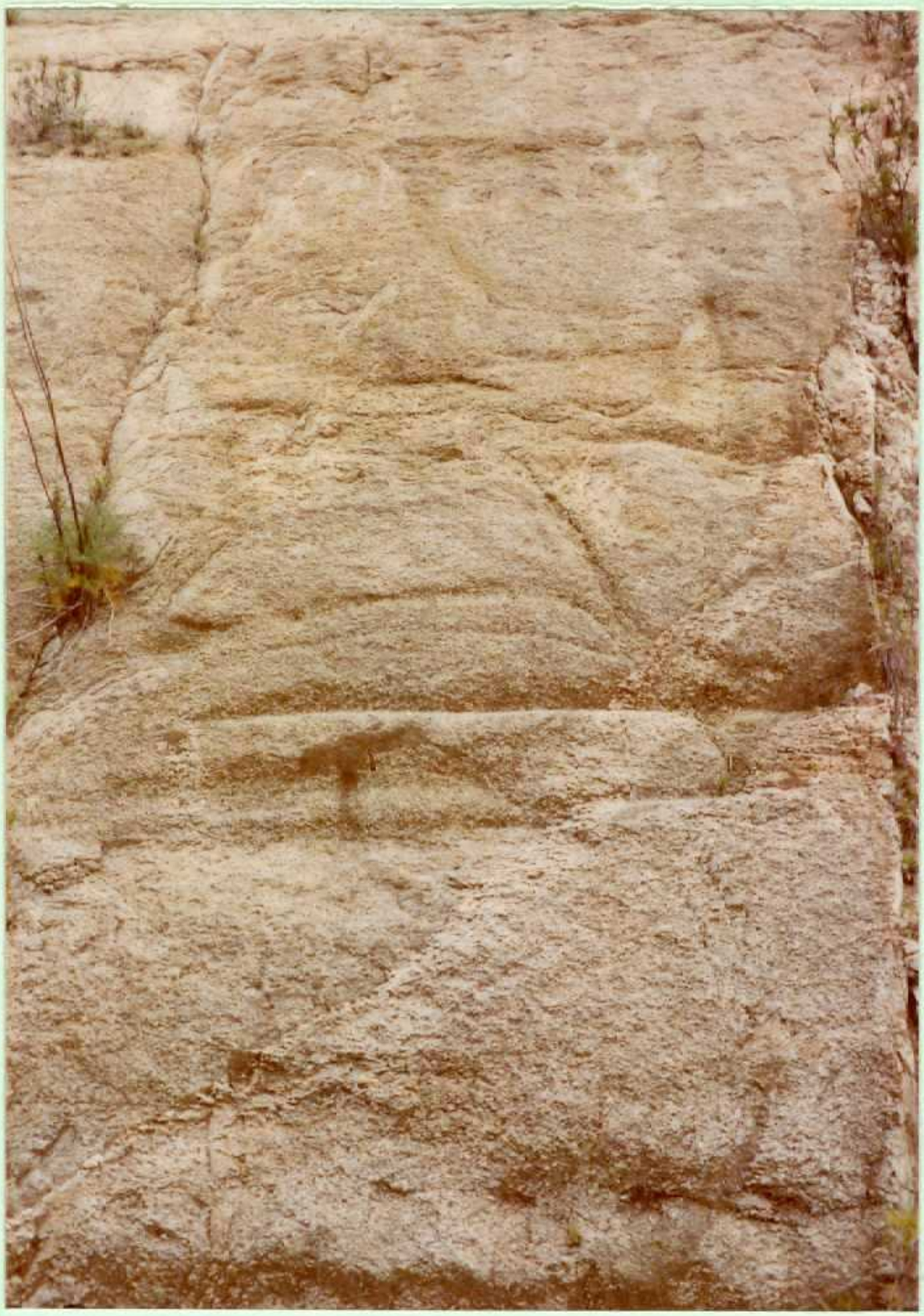


Foto.-651 Filón de lamprófido observable en la urbanización "Las Teulas" próxima a Sta. Cristina de - Aro.



GD

Foto.- 652 Contacto intrusivo de leucogranito de grano medio en la granodiorita, en la entrada al camping Canyelles (playa Canyelles).



GD Foto.-653 Aspecto del granito biotítico ($\gamma\eta^{3}_{b}$) en la carretera Vidreras-Lloret de Mar, próxima a la última población.



GD Foto.-654 Panorámica del Rosell, formado por granito - leucocrático de grano medio.



6D

Foto.-655 Filones de pórfido granítico y felsófidos en la urbanización Lloret Blau (Ctra. Lloret de Mar-Vidreras).



Foto.-656 Detalle del leucogranito de grano grueso ($^{b}_{c-2}\gamma^{3}$) en la Ctra. Lloret de Mar-Vidreras próximo a Can Cabañas.



GD

Foto.-657 Contacto metamórfico-granito biotítico en las inmediaciones de Mas Risech.



61 Foto.-658 Intrusión granodiorítica en la serie paleozoica inferior de naturaleza esquistosa, próxima a - Mas Sureda.



GD

Foto.-659 Depósitos pliocénicos (T^{B}_{2as}) en la trinchera - de la Ctra. Llagostera-San Feliú, cerca de Can Nadal.



GD Foto.-660 Aspecto del volcánico aflorante en la urbanización de Cala Llevadó.



61 Foto.-661 Enclave granítico dentro de la serie esquistosa inferior paleozoica, en las cercanías de la ermita de Sta. Susana.



6D

Foto.-662 Detalle de las pizarras con quiastolita de edad silúrica ($S^{A-B}_{|-|}$), aflorantes en el camino de Can Rustoy a la Ctra. Vidreras-Llagostera.